

## 気泡混入を伴う直噴流について

西日本工大 尾 嶋内 和典 西日本工大 正 石川 誠  
西日本工大 正 赤司 信義 山口大学 正 斎藤 隆

## 1. はじめに

ダムや坑などの落水は水面に突入する際、突入水深が十分でない場合には、多大な変動水圧を河床に与えることとなる。突入水深が十分深い場合には、水脈突入時に混入する気泡群の浮力効果によって、流れは減勢される。現在のところ、水脈の突入によって、どの程度の気泡群が混入されるか、又気泡の存在によって、どの程度減勢されるかの不明である。水脈の突入による空気混入は、水脈と周囲水との境界面で水面が著しく変動することにより生じるものと考えられるが、本文では水と気泡が一体となって噴出される流れを、気泡率を変えて実験的・流れ特性を検討したものである。

## 2. 実験装置とその方法

実験装置は幅20 cm、長さ2 m、高さ1 mの鋼板製前面有床ガラス張り水槽を使用し、水槽中央上部に幅2 cmのノズルを設置した。気泡の混入方法はコンプレッサーより調圧弁、ノズル室へと接続し、調圧弁によって気泡率を調整した。混入空気量  $Q_a$  は送気管(Φ6 mm)の途中に長さ30 cmの拡大管(Φ24 mm)を設け、拡大管中心にプロペラ流速計を設置して、中心流速  $U_m$  を測定し拡大管内平均流速  $\bar{U} = 49 U_m / 60$ (近似則)とし、 $Q_a = \bar{U} A$ として定めた。水流量  $Q$  は左右の量水槽にて求めた。

## 3. 実験結果

図2には気泡混入率  $Q_a/Q = 0, 0.5, 1, 4.9$  の速度分布を示したが、ハづきも自由噴流の速度分布形で近似されることが分かる。本実験ではノズルから床までの距離が20, 40 cmと変えて測定したが、その時の気泡流の概略を図3に示した。気泡群が床に到達しない場合は噴出された気泡群は気泡停滞域を離脱した後、噴水流のごく近くを通りて飛上していく。飛上する気泡の噴出流にまつむれ量は非常に少なく下降気泡と上昇気泡との境界は認め難い。気泡流が床に衝突する場合、気泡は水流と共に水平に輸送されるが気泡の浮上に伴なって流速は急速に減少していく。こ

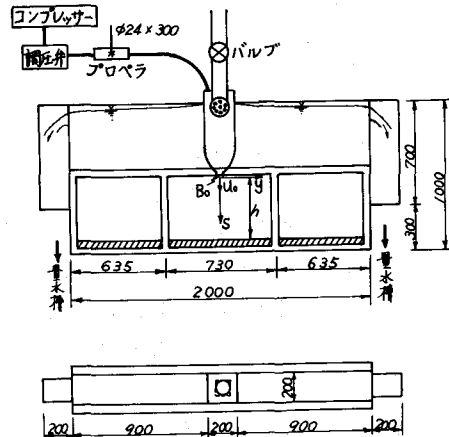


図1 実験装置

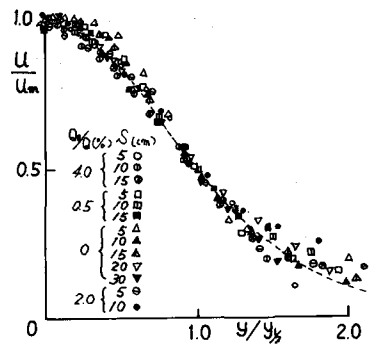


図2 速度分布

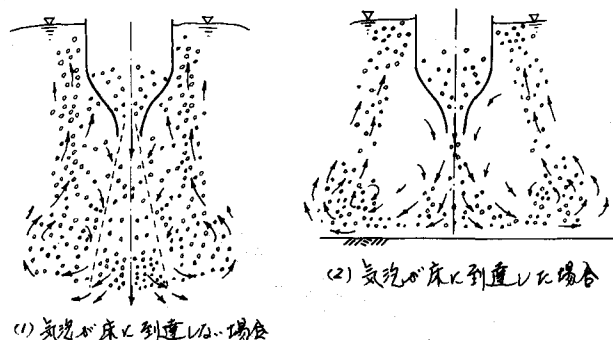


図3 気泡流動の概略

の気泡渦工は下降する噴流に進行される流れの影響を受けて噴流に近づきながら上昇する。

最大流速の変化を図4に示す。実験値は  $A/B_0 = 10$  の値である。気泡の混入率によって流速の減少率は異なり、わずか数%で急激に減少していふ。図中  $S/B_0 > 10$  は衝突後の水平流の最大流速をとったものである。

図中の実線、虚線、一見鏡線、二見鏡線は後述の(5)式も  $\delta = 5, 20$  Kについて示したものである。図5は最大流速の各噴流幅を示したもので、実線は(7)式である。速度分布形を(1)式で定義すると(4)式となり噴流の拘束係数  $\alpha$  を一定とすると直線変化となるが、実験結果からは明確に認めにくく、又  $\alpha$  を一定とする場合には若干問題があり、今後検討せねばならない。

#### 密度噴流としての取り扱い

より単純な形で流れを取り扱うため、気泡流の周囲水の密度  $\rho_e$  を一定とし、気泡と水流との相互作用及び浮上する気泡を無視して考える。速度分布及び密度分布を次式で表示しておく。

$$\frac{U}{U_m} = \exp \left\{ - \left( \frac{y}{x+x_0} \right)^2 \right\} \quad \dots \dots (1)$$

$$\frac{\rho_e - \rho}{\rho_e} g = P \cdot \exp \left( - \frac{y^2}{x^2 b^2} \right), \quad P = \frac{\rho_e - \rho}{\rho_e} \dots \dots (2)$$

$\rho$  は噴出口での密度を、 $U_m$  は駆上流速を示す。

運動量の変化率は単位高さ当り  $K$  作用する浮力に等しいこと、又周囲流体が均値である場合浮力流速は 0 であることにより

$$\frac{d}{dx} \int_0^\infty u^2 dy = 2 \int_0^\infty \frac{\rho_e - \rho}{\rho_e} g dy \quad \dots \dots (3)$$

$$\frac{dB}{dx} = 0, \quad B = -2 \int_0^\infty u g \frac{\rho_e - \rho}{\rho_e} dy \quad \dots \dots (4)$$

上二式に分布関数を導入して(3)式を解くと

$$\frac{U_m}{U_0} = \left\{ C \cdot \left( \frac{x+x_0}{B_0} \right)^{\frac{1}{2}} - a \right\}^{\frac{1}{2}} \quad \dots \dots (5)$$

C は横分定数

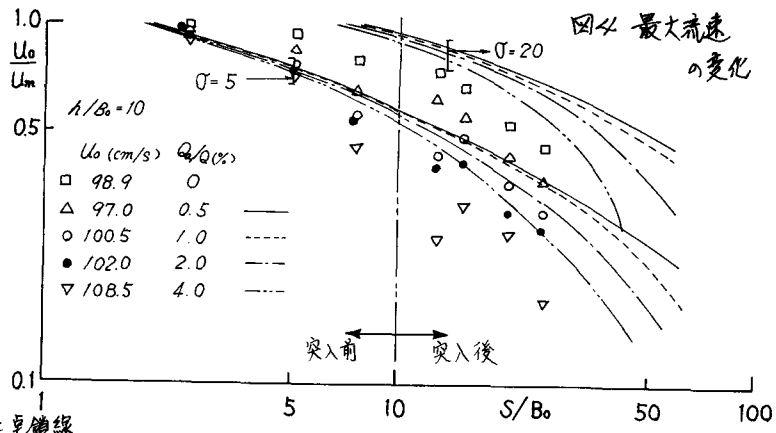
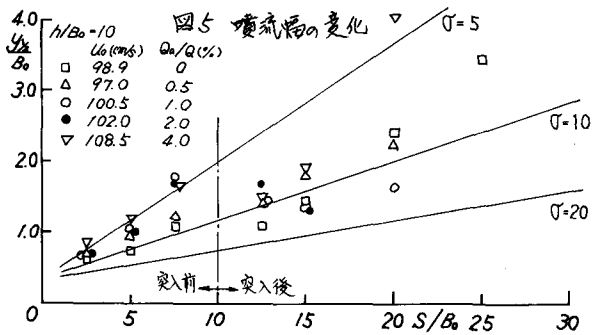


図4 最大流速の変化



種分定数 C を求めたため  $(dM/dx)|_{x=0} = -P_0 B_0$  とすると

$$C = \left\{ A + \left( \sqrt{\frac{2}{\pi}} \frac{b}{A} / F_{do}^2 \right)^{-\frac{1}{2}} \cdot \left( \frac{x_0}{B_0} \right)^{\frac{1}{2}} \right\} \quad \dots \dots (6)$$

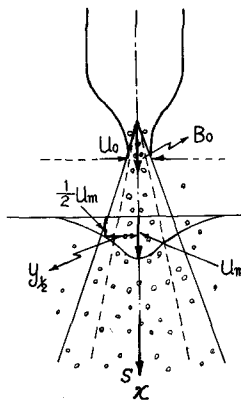
$$= KC, \quad A = \sqrt{2/\pi} \cdot \sqrt{1+\lambda^2} \cdot \delta / F_{do}^2, \quad F_{do}^2 = U_0^2 / P_0 B_0$$

又、噴流仮想原点  $x_0/B_0$  は、噴出口での流量が  $Q = U_0 P_0$

なることを考慮して  $x_0/B_0 = \delta / \sqrt{\pi(1+\lambda^2)}$  となる。

又、噴流幅  $b/B_0$  は(1)式より

$$\frac{b/B_0}{B_0} = \frac{\sqrt{1/b^2}}{\delta} \left( \frac{x+x_0}{B_0} \right) \quad \dots \dots (7)$$



#### 4. おわりに

気泡噴流に関する実験を行った結果、噴出流速/m/s 程度では、気泡率わずか数%で、急速に流れが減速することをめたが、今後工場へ検討を進め自由落下水の流入流れと関連づけてみたい。